

Фазовые превращения в бинарном разрезе системы $UO_2-FeO-Fe$

© С. В. Бешта^а, Е. В. Крушинов^а, В. И. Альмяшев^б, С. А. Витоль^а,
Л. П. Мезенцева^б, Ю. Б. Петров^в, Д. Б. Лопух^в, Н. А. Ломанова^б,
В. Б. Хабенский^а, М. Баррачин (M. Barrachin)^г, З. Хеллманн (S. Hellmann)^д,
К. Фромент (K. Froment)^е, М. Фишер (M. Fischer)^д, В. Тромм (W. Tromm)^ж,
Д. Боттомли (D. Bottomley)^з, В. В. Гусаров^б

^а Научно-исследовательский технологический институт им. А. П. Александрова, Сосновый Бор
Ленинградской обл.

^б Институт химии силикатов им. И. В. Гребенщикова РАН, Санкт-Петербург

^в Санкт-Петербургский государственный электротехнический университет

^г Институт радиологической защиты и ядерной безопасности, Париж, Франция

^д Фрамотом, Эрланген, Германия

^е Комиссариат по атомной энергии, Гренобль, Франция

^ж Институт ядерной энерготехники, Научно-исследовательской центр в Карлсруэ, Германия

^з Объединенный научно-исследовательской центр «Институт трансураниевых элементов»,
Карлсруэ, Германия

Получено 25.10.2005

УДК 546.791'722+536.42

Исследованы фазовые превращения в оксидном бинарном разрезе системы $UO_2-FeO-Fe$. Определена температура начала плавления компонентов в гетерогенной системе UO_2-FeO ($1335 \pm 5^\circ C$) и построена кривая плавкости данной системы. Определены предельная растворимость FeO в твердом растворе на основе UO_2 и изменения структурных параметров кристаллов при образовании твердого раствора. Показано отсутствие растворимости UO_2 в фазе на основе вюстита (FeO).

Данные о фазовых и химических превращениях в системах, содержащих оксид урана, представляют значительный интерес для атомной энергетики [1], использующей в настоящее время в реакторных установках главным образом топливо из UO_2 . Рассматриваемая система актуальна для анализа физико-химических процессов при тяжелой аварии с плавлением активной зоны, так как оксиды железа входят в состав функциональных материалов устройства локализации расплава активной зоны ядерного реактора [2–4].

В литературе имеются весьма ограниченные данные по фазовым превращениям в системе $U-Fe-O$ в зависимости от температуры и парциального давления кислорода [1, 5–9]. В наибольшей степени изучена оксидная область данной системы, лежащая в тетраэдре составов $U_3O_8-UO_2-Fe_2O_3-Fe_3O_4$ [8, 9]. С использованием модели, предложенной в работе [10], авторами выполнен расчетный прогноз фазовой диаграммы системы UO_2-FeO . По расчетным данным, точке эвтектики соответствуют значения температуры $\sim 1350^\circ C$ и концентрации ~ 5 мол% UO_2 .

Отсутствие более подробных данных по фазовым превращениям в системе $U-Fe-O$, особенно в оксидной области системы, лежащей на границе с металлическими фазами, т.е. в системе $UO_2-FeO-Fe$, связано с наличием методических сложностей при исследовании данной системы [1].

В связи с этим представляет интерес систематическое экспериментальное исследование фазовых превращений в оксидной системе UO_2-FeO , сосуществующей с металлической фазой (Fe).

Экспериментальная часть

Исходными веществами для приготовления образцов служили UO_2 (обедненный уран, содержание ^{235}U менее 0.7%) квалификации ч., FeO квалификации ч. и Fe квалификации ос.ч.

Образцы для исследования фазовых превращений в оксидной системе UO_2-FeO , сосуществующей с металлической фазой (Fe), получены методом индукционной плавки в холодном тигле (ИПХТ) на установках «Расплав-2» и «Расплав-3» в токе аргона. Указанные установки и методика плавки в холодном тигле подробно описаны в работах [11, 12].

Для кристаллизации оксида железа со структурой вюстита ($Fe_{1-x}O$) определенного состава, наиболее близкого к стехиометрии FeO , в соответствии с диаграммой состояния системы $Fe-Fe_2O_3$ [6] в качестве геттера использовали металлическое Fe в количестве 1 мас% сверх общей массы образца. При этом оксид железа кристаллизуется в виде нестехиометрической фазы состава $Fe_{0.938}O$. В дальнейшем она будет условно обозначаться как FeO .

Рентгенофазовый анализ (РФА) и определение параметров элементарной ячейки соединений проводили по порошковым дифрактограммам, полученным на рентгеновском дифрактометре ДРОН-3 (излучение FeK_{α}).

Химический состав образцов определяли спектрофотометрическим и газовойлюмометрическим методами по методикам, описанным в работах [13–15], и методом рентгеноспектрального флуоресцентного анализа (РСФА) с использованием спектрометра СПАРК 1-М.

Микроструктуру, элементный состав образцов и состав отдельных фаз определяли методами сканирующей электронной микроскопии (СЭМ) и энергодисперсионного микроанализа (МРСА) на сканирующих электронных микроскопах CamScan MV2300 или АВТ-55, оснащенных микрозондовыми приставками Oxford Link. Погрешность определения содержания элементов в среднем составляла ~ 0.3 мас%.

Термические превращения в системе $UO_2-FeO-Fe$ изучали методом дифференциально-термического анализа (ДТА). Исследования методом ДТА проводили в среде Ar высокой чистоты на приборе SETARAM SETSYS Evolution 2400. Температуры термических эффектов фиксировали по началу пиков на кривых ДТА, определенному методом пересечения касательных к ветвям базовой кривой и кривой термического эффекта. В экспериментах использовали корундовые и платиновые тигли, масса образцов составляла около 30 мг, скорость нагревания и охлаждения – $5^{\circ}C/мин$.

Процессы плавления и кристаллизации в рассматриваемых системах исследовали также методом визуально-политермического анализа (ВПА) с использованием оригинальных установок и методик – ВПА ИПХТ [16] и ВПА в микропечи Галахова [17]. Температуру начала кристаллизации расплава в системе (температуру ликвидуса) определяли методом ВПА ИПХТ, описанным в работе [16]. Температуру начала плавления (температуру солидуса) и окончательного расплавления компонентов системы (температуру ликвидуса) определяли методом ВПА в микропечи Галахова, описанным в работе [18].

Для получения образца эвтектического состава в условиях ИПХТ проводили медленную кристаллизацию расплава, обеспечивающую отеснение фронтом кристаллизации жидкости, состав которой по мере кристаллизации наиболее тугоплавких компонентов приближается к эвтектическому. Зону эвтектической кристаллизации при этом идентифицировали по характерной микроструктуре слитка.

Для определения предела растворимости FeO в

фазе переменного состава на основе диоксида урана был проведен эксперимент, в котором твердый раствор $UO_2(FeO)$ в течение продолжительного времени выдерживали в контакте с расплавом, имеющим состав, близкий к эвтектическому.

Результаты и обсуждение

Для изучения фазовых превращений, происходящих в оксидном бинарном разрезе системы $UO_2-FeO-Fe$, были получены и исследованы образцы составов, лежащих в области концентраций от 3.9 до 67.5 мол% UO_2 .

Макро- и микроструктура закристаллизованных образцов после плавки исходных смесей методом ИПХТ показана на рис. 1. Все образцы наряду с областью кристаллизации наиболее тугоплавкого компонента содержат области с эвтектическим характером кристаллизации (рис. 1). Химический состав эвтектической зоны, определенный методом МРСА, для разных образцов составляет 3.98–0.12 мол% UO_2 . Значения температуры начала кристаллизации образцов исследованных составов, определенные методом ВПА ИПХТ, приведены на рис. 2.

Фрагменты образцов, полученных методом ИПХТ, отбирали для дальнейшего исследования методами ДТА и ВПА в микропечи Галахова.

Термограмма образца, содержащего 7.0 ± 0.5 мол% UO_2 , представлена на рис. 3, а (тигель из Al_2O_3). Кривая ДТА демонстрирует в процессе нагревания два четко выраженных эндотермических эффекта при 1335 и $1379^{\circ}C$, соответствующих температурам начала плавления и полного расплавления компонентов данной композиции. При охлаждении наблюдаются два экзотермических эффекта при 1393 и $1348^{\circ}C$, соответствующих началу кристаллизации и полной кристаллизации образца. Разница в значениях соответствующих температур при нагревании и охлаждении образца не может быть связана с эффектами переохлаждения, так как кристаллизация, по данным ДТА, начинается при более высоких температурах, чем плавление, и объясняется, по-видимому, взаимодействием образца с материалом тигля (оксидом алюминия) в процессе эксперимента. Следует также обратить внимание на тот факт, что первый эндотермический эффект представляет собой два наложенных эффекта (рис. 3, а), первый из которых ($1335^{\circ}C$), по-видимому, соответствует началу плавления композиции UO_2-FeO , а второй (при $1346^{\circ}C$) – связан со взаимодействием образца с материалом тигля (Al_2O_3), являющимся относительно тугоплавким компонентом, что приводит к повышению температуры образования расплава. Таким образом, за температуру начала плавления

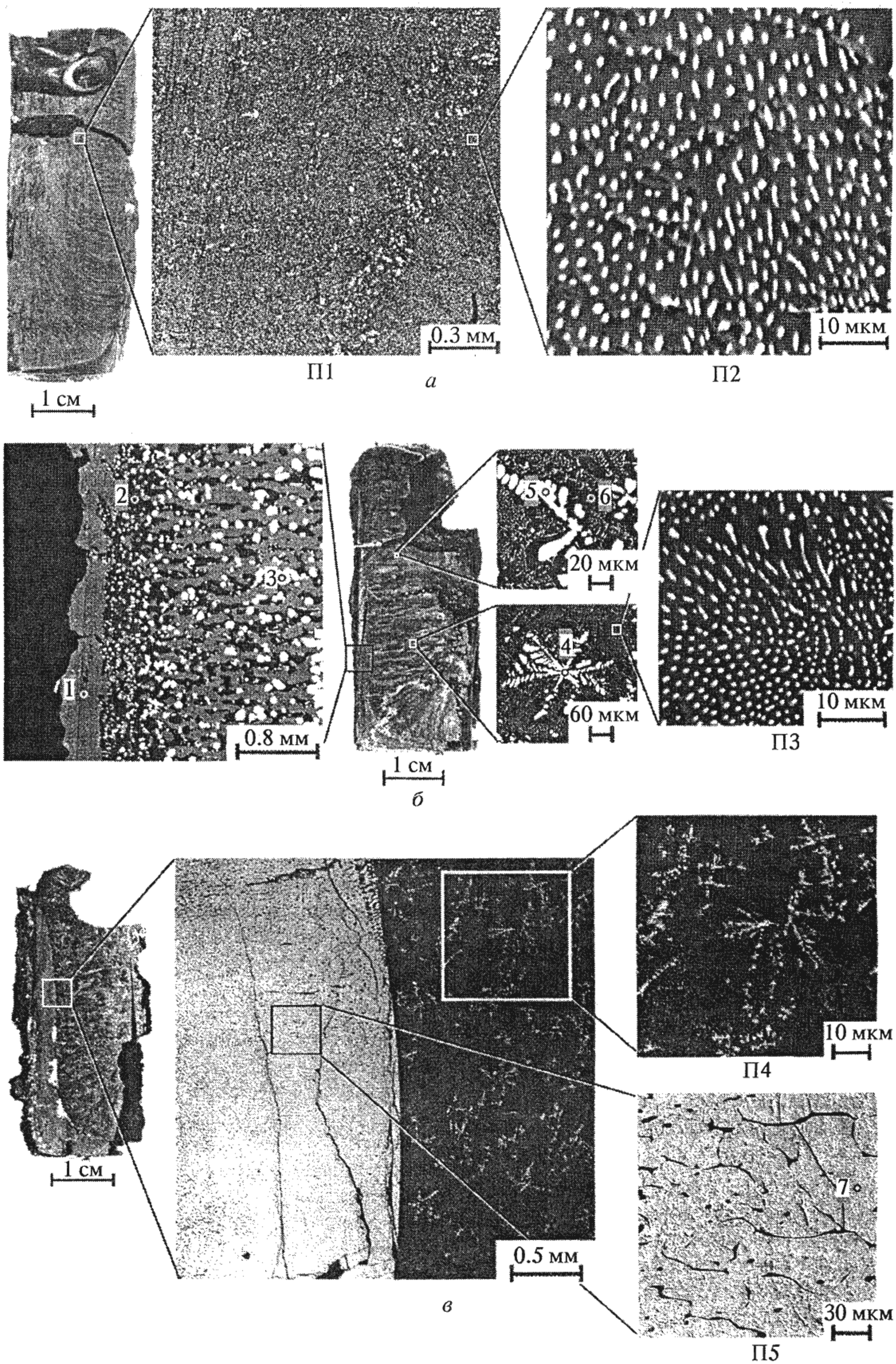


Рис. 1. Микрофотографии закристаллизованных образцов системы UO_2-FeO с различным содержанием UO_2 . а - 3.9 мол% UO_2 ; б - 7.0 мол% UO_2 , образец закален от $1850^\circ C$; в - 21.0 мол% UO_2 , образец получен методом вытягивания слитка из индуктора.

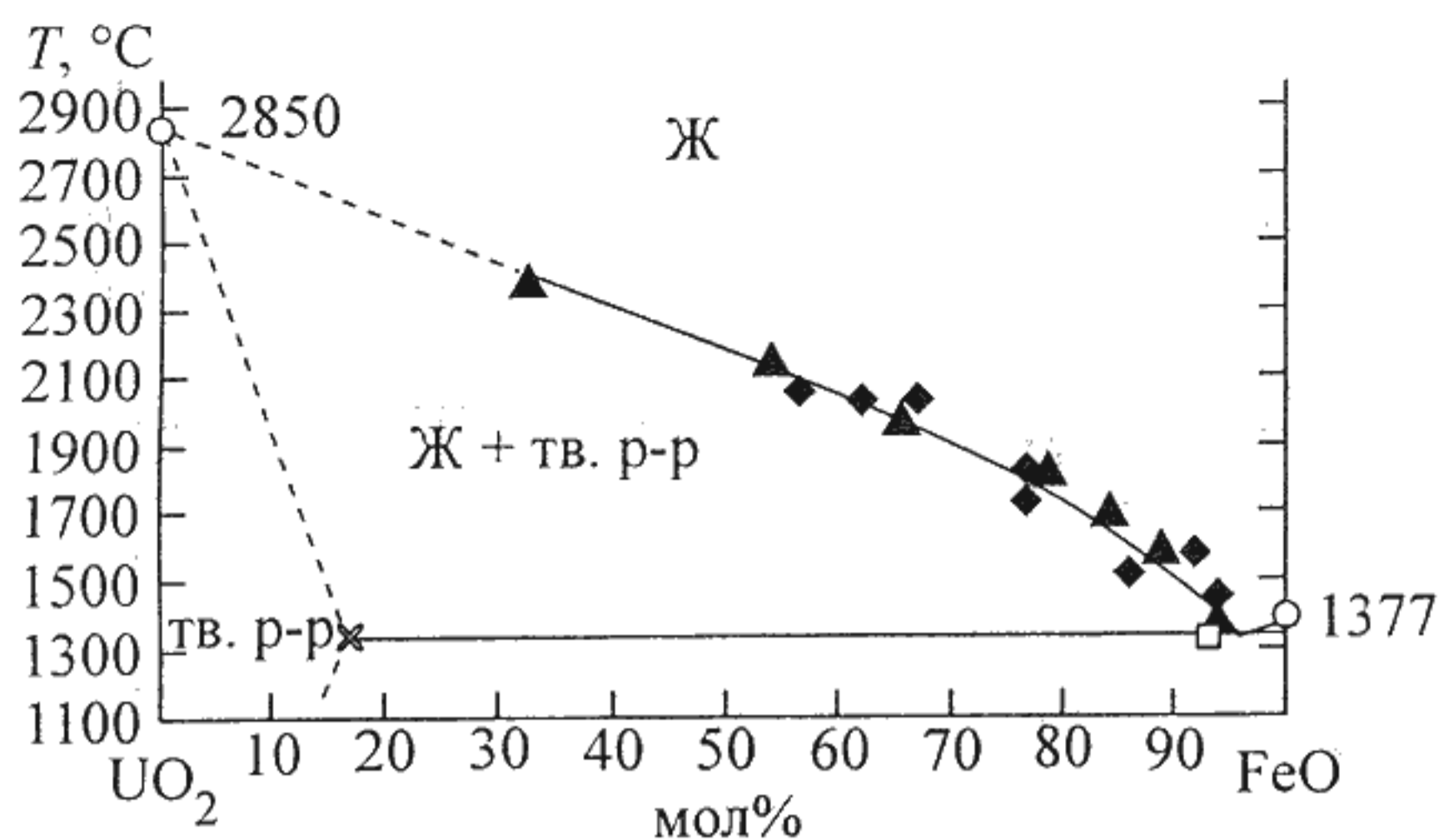


Рис. 2. Фазовая диаграмма системы UO_2-FeO (инертная атмосфера). Круги – справочные данные [16], треугольники – ВПА ИПХТ, ромбы – ВПА в микропечи Галахова, квадрат – ДТА, крестик – ИПХТ/МРСА.

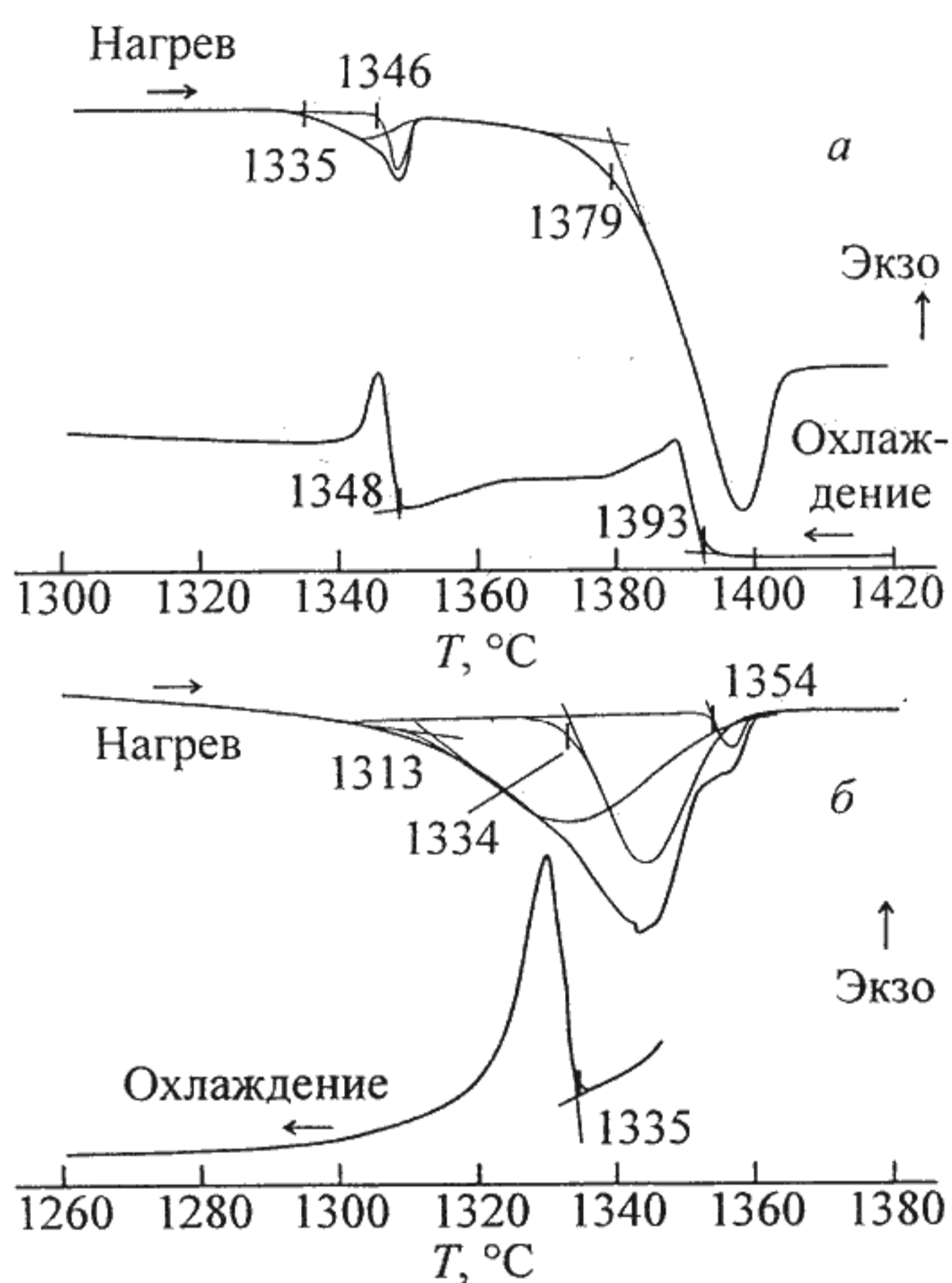


Рис. 3. Кривые ДТА системы UO_2-FeO . а – образец, содержащий 7.0 мол% UO_2 (инертная атмосфера, корундовый тигель); б – образец, содержащий около 4 мол% UO_2 (инертная атмосфера, платиновый тигель).

рассматриваемого образца, по-видимому, следует принять значение $1335^\circ C$.

Для уменьшения неопределенности в трактовке результатов термического анализа было проведено исследование методом ДТА образца, содержащего около 4 мол% UO_2 , в платиновом тигле, так как в этом случае отсутствует взаимодействие оксидных фаз с материалом тигля и, следовательно, в процессе плавления состав оксидной системы не меняется. Результаты ДТА (рис. 3, б) показывают, что при нагревании образца фиксируются три пика при 1313 , 1334 и $1354^\circ C$. Термический эффект, начинающийся при $1334^\circ C$, по-видимому,

Химический состав областей, отмеченных на рис. 1

Содержание UO_2 в образце, мол%	Исследуемая область	Содержание компонентов, мол%	
		UO_2	FeO
3.9	П1	4.0	96.0
	П2	4.1	95.9
7.0	1	100% Fe	
	2	–	100
	3	96.1	3.9
	4	96.6	3.4
	5	95.5	4.5
	6	–	100
21.0	П3	3.7	96.3
	П4	4.3	95.7
	П5	83.3	16.7
	7*	~95	~5

* Расчет на основании данных о химическом составе области П5 и данных об объемных долях сосуществующих фаз в поле П5 [$UO_2(FeO)$ и FeO].

относится к эвтектике, а при $1354^\circ C$ – к температуре ликвидуса. Так как в данном случае состав оксидной системы не меняется, то температура кристаллизации расплава должна совпадать с температурой начала плавления, что и наблюдается на рис. 3, б. Размытый термический эффект, начинающийся при $1313^\circ C$ (нагревание образца), по-видимому, связан с взаимодействием материала тигля (Pt) с железом, присутствующим в образце в качестве геттера.

Все образцы, полученные кристаллизацией расплава системы $UO_2-FeO-(Fe)$, показывают наличие твердого раствора на основе диоксида урана – $UO_2(FeO)$, в то время как растворимость UO_2 в фазе на основе вюститита практически отсутствует (рис. 1; см. таблицу). Однако зерна твердого раствора $UO_2(FeO)$ в большинстве закристаллизованных образцов по причине эвтектического или быстрого дендритного характера кристаллизации (рис. 1, а, б) слишком малы для прецизионного определения их состава методом МРСА. Кроме того, было замечено, что при охлаждении происходит распад твердого раствора $UO_2(FeO)$ с выделением тонкого слоя FeO вокруг зерен на основе UO_2 (рис. 1, а; см. таблицу, область б). Это, очевидно, связано с уменьшением растворимости FeO в фазе на основе UO_2 при понижении температуры. По этим причинам для более точного определения предела растворимости FeO в UO_2 был проведен эксперимент с выращиванием слоя твердого раствора $UO_2(FeO)$, сосуществующего с расплавом, имеющим состав, близкий к эвтектическому (рис. 1, в; см. таблицу). Для данного эксперимента использовали образец, содержащий 21.0 мол% UO_2 . Значительная толщина слоя, сформирован-

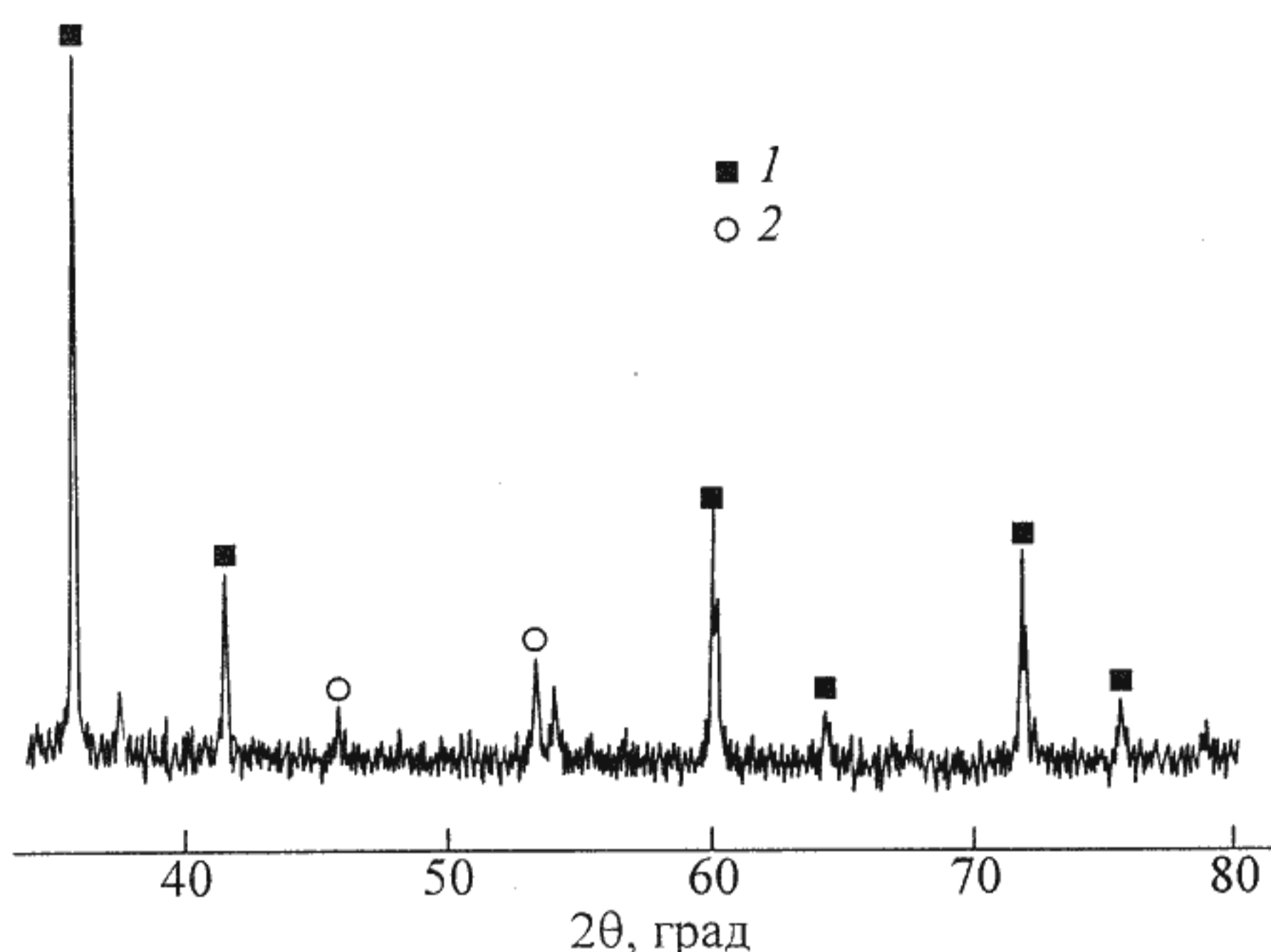


Рис. 4. Рентгеновская дифрактограмма образца, изображенного на рис. 1, в (область П5). 1 – $\text{UO}_2(\text{FeO})$, 2 – FeO (вюстит).

ного кристаллизацией твердого раствора $\text{UO}_2(\text{FeO})$, позволила получить более точные данные о предельной растворимости FeO в UO_2 (рис. 1, в; см. таблицу). Отметим, что при отжиге этого образца при температурах, соответствующих субсолидусной области (рис. 2), наблюдается выделение FeO из твердого раствора в виде тонкого слоя вокруг зерен фазы $\text{UO}_2(\text{FeO})$ (рис. 1, в). РФА фрагмента образца, отвечающего области кристаллизации твердого раствора $\text{UO}_2(\text{FeO})$ (рис. 1, в), также показывает, что наряду с фазой на основе UO_2 существует некоторое количество фазы на основе FeO (рис. 4). Таким образом, при охлаждении твердого раствора $\text{UO}_2(\text{FeO})$ происходит его частичный распад с выделением по границам зерен фазы со структурой вюстита (FeO).

Определенный методом МРСА предел растворимости – 16.7 мол% FeO (рис. 1, в) – относится к значению температуры расплава $\sim 1350^\circ\text{C}$, сосуществующего с твердой фазой $\text{UO}_2(\text{FeO})$. Экстраполируя линию начала плавления твердого раствора $\text{UO}_2(\text{FeO})$ (рис. 2), проходящую через точку 1350°C и 16.7 мол% FeO , на эвтектическую температуру, можно ожидать, что предельная растворимость FeO в UO_2 составит ~ 17.0 мол% FeO (рис. 2).

Рентгеноструктурный анализ показал, что при растворении в диоксиде урана ~ 5 мол% FeO (см. таблицу, область 7) объем элементарной ячейки

уменьшается на 0.4% (параметр элементарной ячейки UO_2 равен 5.4682 \AA [19], а твердого раствора $\text{UO}_2(\text{FeO})$, содержащего ~ 5 мол% FeO , – $5.4601 \pm 0.0002 \text{ \AA}$).

Работа выполнена при поддержке гранта МНТЦ (проект 1950.2 CORPHAD).

Список литературы

- [1] Воронов Н. М., Софронова Р. М., Войтехова Е. А. Высоко-температурная химия окислов урана и их соединений. М.: Атомиздат, 1971. 360 с.
- [2] Гусаров В. В., Альмяшев В. И., Бешта С. В. и др. // Теплоэнергетика. 2001. N 9. С. 22–24.
- [3] Гусаров В. В., Альмяшев В. И., Саенко И. В. и др. Пат. РФ N 2206930. Опубл. 20.06.2003. Приоритет от 02.04.2002.
- [4] Гусаров В. В., Альмяшев В. И., Хабенский В. Б. и др. // ЖРХО. 2005. Т. 49, N 4. С. 17–28.
- [5] Быков М. А., Успенская И. А. // ЖНХ. 2003. Т. 48, N 10. С. 1715–1717.
- [6] Darken L. S., Gurry R. W. // J. Am. Chem. Soc. 1945. Vol. 67. P. 1398–1412.
- [7] Michaud G. G. // Can. Met. Quart. 1966. Vol. 5, N 4. P. 355–365.
- [8] Косулина Г. И. Диаграммы состояния систем тугоплавких оксидов: Справочник. Вып. 5: Двойные системы. Ч. 5 / Под ред. Р. Г. Гребенщикова. Л.: Наука, 1991. 416 с.
- [9] Evans W. D. J., White J. // Trans. Brit. Ceram. Soc. 1964. Vol. 63, N 12. P. 705–724.
- [10] Epstein L. F., Howland W. H. // J. Am. Ceram. Soc. 1953. Vol. 36, N 10. P. 334–335.
- [11] Петров Ю. Б. Индукционная плавка окислов. Л.: Энергоатомиздат, 1983. 104 с.
- [12] Lopukh D., Bechta S., Pechenkov A. et al. // Proc. ICONE 8: 8th Int. Conf. on Nuclear Engineering. Baltimore, Maryland (USA), April 2–6, 2000. ICONE-8139.
- [13] Марков В. К., Верный Е. А., Виноградов А. В. и др. Уран. Методы его определения / Под ред. В. К. Маркова. Изд. 2-е, испр. и доп. М.: Атомиздат, 1964. 503 с.
- [14] Рябчиков Д. И., Сенявин М. М. Аналитическая химия урана. М.: Изд-во АН СССР, 1962. 431 с.
- [15] Лукьянов В. Ф., Саввин С. Б., Никольская И. В. // ЖАХ. 1960. Т. 15, N 3. С. 311–314.
- [16] Петров Ю. Б., Бешта С. В., Витоль С. А. и др. // Матер. междунар. конф. «Актуальные проблемы теории и практики индукционного нагрева». СПб. (Россия), 25–26 мая 2005 г. С. 161–169.
- [17] Галахов Ф. Я. // Современные методы исследования силикатов и строительных материалов. М.: Госстройиздат, 1961. С. 178.
- [18] Торопов Н. А., Галахов Ф. Я. // Изв. АН СССР. Отд. хим. наук. 1956. N 2. С. 158–161.
- [19] ASTM. Card 5-550.